

## کنترل ارتعاشات اجباری ورق مستطیلی لایه‌ای مرکب مستقر بر بستر خطی

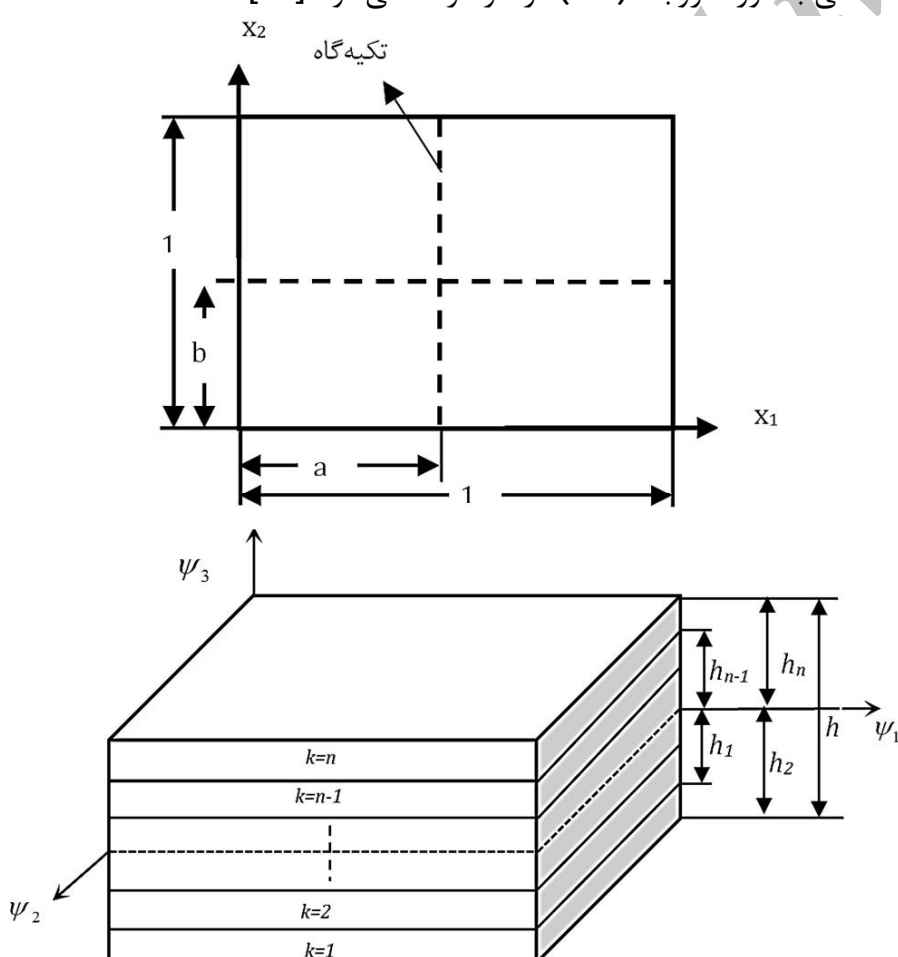
کوروش خورشیدی<sup>1\*</sup>, محمد بالالی<sup>2</sup>, علی اصغر قدیمی<sup>3</sup>

- 1- استادیار، مهندسی مکانیک، دانشگاه اراک، اراک
  - 2- کارشناسی ارشد، مهندسی مکاترونیک، دانشگاه اراک، اراک
  - 3- استادیار، مهندسی برق، دانشگاه اراک، اراک
- \*اراک، صندوق پستی 3815688349

شده است. چانگ و ژو [16] به بررسی ارتعاش ورقهای مرکب چند لایه متقارن مستقر بر تکیه‌گاههای خطی درون صفحه‌ای پرداخته‌اند. از آنجایی که پدیده ارتعاش یک پدیده دینامیکی است، بنابراین در رفتار سازه در هر لحظه زمانی در حال تغییر است. جهت کنترل رفتار سازه‌ها تحت ارتعاش نیاز به بکارگیری روش‌های کنترلی فعال است تا در هر لحظه بتوان دامنه نوسانات سازه را کاهش داد. در این مقاله کنترل فعال یک ورق مرکب لایه‌ای مستطیلی کوپل شده با وصله‌های پیزوالکتریک مستقر روی تکیه‌گاههای خطی مورد بررسی قرار گرفته است. فرکانس‌های طبیعی و شکل مودهای ارتعاشی ورق با به کارگیری روش تحلیل ریلی - ریتز به دست آمده‌اند. روش‌های کنترلی رگلاتور خطی درجه دوم و گوسی خطی درجه دوم برای کنترل ارتعاشات سیستم ناشی از نیروی خارجی به کار گرفته شده است. جهت شبیه‌سازی و به دست آوردن نتایج عددی برنامه‌هایی در نرمافزارهای متمتیکا<sup>1</sup> و مطلب<sup>2</sup>، تهیه شده و در بخش نتایج عددی تأثیر پارامترهای مختلف از قبیل وروهی‌های مختلف از قبیل موقعیت نیروی اعمالی با کنترل کننده و بدون کنترل کننده روی پاسخ سیستم مورد بررسی و تحلیل قرار می‌گیرند. جهت بررسی دقیق روش به کار رفته نتایج عددی با نتایج دقیق موجود در مراجع مقایسه می‌شود.

## 2- رابطه‌بندی معادلات حاکم بر رفتار ارتعاشی ورق

ورقی مستطیلی چندلایه مرکب با ابعاد طول  $a$ ، عرض  $b$  و ضخامت کل  $h$  در دستگاه مختصات کارتزین مستقر بر بستر خطی مطابق شکل 1 مفروض است. که خواص فیزیکی هر لایه در جدول 1 آورده شده است. جهت تحلیل ارتعاش ورق مفروض تئوری تغییر شکل برشی مرتبه نخست که اثرات تنش برشی در راستای ضخامت و اینرسی دورانی لحاظ می‌شود، مورد استفاده قرار گرفته است. براساس فرضیات این تئوری میدان جابه‌جایی ورق جهت ارتعاش خمی به صورت روابط (3-1) درنظر گرفته می‌شود [13].



شکل 1 ورق مستطیلی چندلایه مستقر بر بستر خطی، دستگاه مختصات کارتزین

1- Mathematica V7  
2- Matlab

به سبب توسعه سازه‌های هوشمند، ورقهای الاستیک با اجزاء پیزوالکتریک بسیار مورد مطالعه قرار گرفته‌اند. هانگ [1] به بررسی ارتعاش آزاد ورق مستطیلی مستقر روی تکیه‌گاه خطی با شرایط مرزی مختلف پرداخته است. در این بررسی فرکانس‌های طبیعی برای شرایط مرزی مختلف به دست آمده است. آلتانسری و بایر [3, 2] به بررسی ارتعاش آزاد و اجباری صفحه مستطیلی لایه‌ای نازک با شرایط مرزی مختلف پرداخته‌اند. در تحقیق ارائه شده توسط ایشان بیشینه جابه‌جایی به‌ازای نیروی وارد و با زوایای متفاوت مورد بررسی قرار گرفته است. در تمام این مدل‌ها فرض معمول آن است که بدون اعمال یک میدان الکتریکی، حضور ماده پیزوالکتریک نمی‌تواند تأثیر قابل توجهی بر ویژگی‌های کلی سازه داشته باشد، که ارتعاشات کل سازه ورق را به عنوان هدف نهایی قرار داده‌اند. مویتا [4] کنترل فعال سازه‌های لایه‌ای مرکب کوپل شده با وصله‌های پیزوالکتریک را به روش اجزاء محدود با به کارگیری تئوری ورق نازک کیرشهف مورد بررسی قرار گرفته است. مویتا و کراولیدر رابطه‌بندی اجزاء محدود برای کنترل فعال ورق به نسبت ضخیم به ترتیب در ارتعاش آزاد [5] و ارتعاش اجباری [6] را ارائه کرده‌اند. سادک [7] رابطه‌ای جهت کنترل ارتعاش ورقهای نازک با استفاده از قطعات حسگر و عملگر پیزوالکتریک ارائه داده است. برای این منظور ابتدا معادلات انتگرالی حاکم بر رفتار ارتعاشی ورق به دست آمده سپس فرکانس‌های طبیعی ورق محاسبه شده است و پس از آن به کنترل رفتار ارتعاشی ورق پرداخته شده است. گوپینشان [8] با استفاده از تئوری ورق نازک و با به کارگیری وصله‌های حسگر و عملگر پیزوالکتریک به تحلیل کنترل ارتعاش ورق پرداخته است. کوارونا [9] به بررسی کنترل ارتعاشات اجباری ورق مستطیلی با شرایط مرزی کاملاً ساده با استفاده از وصله‌های پیزوالکتریک و کنترل کننده رگلاتور خطی درجه دوم تحت تحريك اجباری در مرکز ورق پرداخته است. تحلیل ارتعاش اجباری حاصل از بارگذاری عرضی و همچنین کنترل ارتعاشات اجباری کاربرد وسیعی در تحلیل سازه‌های مهندسی دارد. این بارگذاری می‌تواند در اثر تماس با یک سازه صلب یا تحت تأثیر محیط‌های تغییرشکل پذیر چون فشار حاصل از یک محیط آکوستیکی و یا در اثر برخورد سیال مایع رخ می‌دهد. از جمله این سازه‌ها به بدن کشته‌ها، میکروفون‌ها، ضربه‌گیرهای ساحل، فونداسیون ساختمان‌ها و ... می‌توان اشاره کرد. فارغ از ماهیت اعمال نیرو، بررسی تأثیر این نیرو روی سازه و همچنین کنترل ارتعاشات اجباری می‌تواند طراح را به سمت طرحی بهتر و بهینه سوق دهد [11, 10]. در برخی از تحقیقات ارائه شده جهت کنترل فعال ورق، کاهش ارتعاش کل ورق مورد نظر بوده است و اغلب برای کاهش ارتعاش ورق از تعداد زیادی وصله پیزوالکتریک استفاده کرده‌اند [12]. حسینی هاشمی و همکاران [13] به ارتعاش آزاد ورق مستطیلی به نسبت ضخیم مستقر بر تکیه‌گاههای خطی با به کارگیری تئوری مرتبه نخست تغییر شکل برشی پرداخته‌اند که در این تحقیق از روش انرژی ریلی ریتز جهت محاسبه فرکانس‌های طبیعی و شکل مودهای ارتعاشی ورق استفاده کرده‌اند. خورشیدی و فرهادی [14] با به کارگیری روش انرژی ریلی ریتز به بررسی ارتعاش آزاد ورق مرکب چندلایه مستطیلی در تماس با سیال پرداخته‌اند. از توابع سعی هارمونیک استفاده کرده‌اند. که برای محاسبه پاسخ ارتعاش آزاد ورق خورشیدی و همکاران [15] به بررسی کنترل فعال ورقهای دایروی نازک تحت تأثیر بارهای مکانیکی و بارهای ناشی از فشار یک میدان صوتی پرداخته‌اند. در تحقیق ارائه شده از کنترل کننده‌های رگلاتور خطی درجه دوم و گوسی خطی درجه دوم جهت کاهش دامنه نوسانات عرضی ورق استفاده

$$\nu_{ij}E_j = \nu_{ji}E_i, \quad (13)$$

برای انتقال معادله (9) به دستگاه کارتزینی مختصات  $(x, y, z)$  از معادله (14) استفاده می‌شود.

$$\begin{Bmatrix} \sigma_x \\ \sigma_y \\ \tau_{xy} \\ \tau_{xz} \\ \tau_{yz} \end{Bmatrix}^{(k)} = [Q]^{(k)} \begin{Bmatrix} \varepsilon_{x,0} \\ \varepsilon_{y,0} \\ \gamma_{xy,0} \\ \gamma_{xz,0} \\ \gamma_{yz,0} \end{Bmatrix} \quad (14)$$

با توجه به تئوری الاستیسیته خطی انرژی‌های جنبشی و پتانسیل برای ورق مرکب چندلایه به صورت روابط (16.15) بیان می‌شود.

$$U_p = \frac{1}{2} \sum_{k=1}^K \int_0^a \int_0^b \int_{h^{(k-1)}}^{h^{(k)}} (\sigma_{11}^{(k)} \varepsilon_{11} + \sigma_{22}^{(k)} \varepsilon_{22} + \tau_{12}^{(k)} \gamma_{12} + K_1^2 \tau_{13}^{(k)} \gamma_{13} + K_2^2 \tau_{23}^{(k)} \gamma_{23}) dx_1 dx_2 dx_3, \quad (15)$$

$$T_p = \frac{1}{2} \omega^2 \sum_{k=1}^K \rho_p^{(k)} \int_0^a \int_0^b \int_{h^{(k-1)}}^{h^{(k)}} (U_1^2 + U_2^2 + U_3^2) dx_1 dx_2 dx_3, \quad (16)$$

که  $K$  تعداد لایه‌ها ورق مرکب لایه‌ای،  $a$  و  $b$  ابعاد ورق،  $(h^{(k-1)}, h^{(k)})$  مختصات  $z$  لایه  $k$  ام است.  $K_1$  و  $K_2$  ضریب تصحیح تنش برشی مربوط به تئوری مرتبه نخست تغییر شکل برشی است که در این مقاله معادل  $K_1^2 = K_2^2 = \sqrt{5/6}$  در نظر گرفته شده است. این ضریب جهت تصحیح خطای به وجود آمده در تنش‌های برشی عرضی ناشی از فرضیات تئوری مرتبه نخست تغییر شکل برش مورد استفاده قرار می‌گیرد.  $\omega$  فرکانس طبیعی ورق است. با جایگزینی روابط (14-1) در روابط (16.15) و ساده کردن آن‌ها می‌توان بیشتره انرژی جنبشی و پتانسیل را به صورت روابط (18.17) به دست آورده.

$$U_p = \frac{1}{2} \sum_{k=1}^K \int_0^a \int_0^b \int_{h^{(k-1)}}^{h^{(k)}} (\sigma_{11}^{(k)} \varepsilon_{11} + \sigma_{22}^{(k)} \varepsilon_{22} + \tau_{12}^{(k)} \gamma_{12} + K_1^2 \tau_{13}^{(k)} \gamma_{13} + K_2^2 \tau_{23}^{(k)} \gamma_{23}) dx_1 dx_2 dx_3, \quad (17)$$

$$T^* = \frac{1}{2} \omega^2 \sum_{k=1}^K \rho_p^{(k)} \int_0^a \int_0^b \left( \frac{1}{3} (\psi_1^2 + \psi_2^2) (h_{k-1}^3 - h_k^3) + \psi_3^2 (h_{k-1}^3 - h_k^3) \right) dx_1 dx_2 \quad (18)$$

در روش انرژی روش ریلی- ریتز جهت تقریب پاسخ ارتعاش آزاد ورق از توابع کثیرالجمله‌ای استفاده می‌شود که شرایط مرزی هندسی سازه را ارضا می‌کند؛ بنابراین به صورت روابط (21-19) است.

$$\psi_1(X_1, X_2) = \sum_{i=0}^{N_1} \sum_{j=0}^i a_n X_1^j X_2^{i-j} G_1(X_1, X_2), \quad (19)$$

$$\psi_2(X_1, X_2) = \sum_{i=0}^{N_2} \sum_{j=0}^i b_n X_1^j X_2^{i-j} G_2(X_1, X_2), \quad (20)$$

$$\psi_3(X_1, X_2) = \sum_{i=0}^{N_3} \sum_{j=0}^i c_n X_1^j X_2^{i-j} G_3(X_1, X_2), \quad (21)$$

که در روابط (21-19)،  $n$  به صورت رابطه (22) محاسبه می‌شود.

$$n = \frac{(i+1)(i+2)}{2} j, \quad (22)$$

$N_1, N_2$  و  $N_3$  معرف تعداد جمله‌های  $\tilde{\psi}_1, \tilde{\psi}_2$  و  $\tilde{\psi}_3$  است که برای همگرایی لازم در جواب‌های یک مسئله نقش اساسی دارند و باید در هر مسئله بررسی شود که به ازای چه مقادیری از آن‌ها به همگرایی لازم در پاسخ‌ها خواهیم رسید که معمولاً مقدار آن‌ها را با هم برابر فرض می‌کنند.  $a_n, b_n$  و  $c_n$

جدول 1 خصوصیات صفحه و پیزوالتریک مورد بررسی در ارتعاش اجباری و طراحی کنترل کننده

خصوصیات ماده	گرافیت- اپوسکی	PZT
$a(m)$	2	0/2
$b(m)$	2	0/2
$h(m)$	0/02	0/035
$v_{12}$	0/3	0/2
$\rho(\text{kg/m}^3)$	8200	7700
$E_1(\text{GPa})$	138	123
$E_2(\text{GPa})$	8/96	--
$G_{12}(\text{GPa})$	7/1	--
$G_{13}(\text{GPa})$	7/21	--
$G_{23}(\text{GPa})$	6/21	--
$d_{31}(\text{cm/m}^2)$	--	$125 \times 10^{-12}$

$$U_1 = x_3 \psi_1(x_1, x_2, t) \quad (1)$$

$$U_2 = x_3 \psi_2(x_1, x_2, t) \quad (2)$$

$$U_3 = \psi_3(x_1, x_2, t) \quad (3)$$

که  $U_1$  و  $U_2$  به ترتیب جابه‌جاوی‌های ورق در راستای  $x_1$  و  $x_2$  و  $\psi_3$  جابه‌جاوی عرضی در راستای  $x_3$  و همچنین  $\psi_1$  و  $\psi_2$  شبیه ورق ناشی از خمی به ترتیب حول محورهای  $x_1$  و  $x_2$  است. با به کارگیری روابط کرنش جابه‌جاوی خطی ون کارمن معادله‌های کرنش به صورت روابط (8-4) به دست می‌آید.

$$\varepsilon_{11} = U_{1,1} = -x_3 \psi_{1,1} \quad (4)$$

$$\varepsilon_{22} = U_{2,2} = -\psi_{1,2} x_3 \quad (5)$$

$$\varepsilon_{12} = \frac{1}{2} (U_{1,2} + U_{2,1}) = -\frac{1}{2} (\psi_{1,2} + \psi_{2,1}) x_3 \quad (6)$$

$$\varepsilon_{13} = \frac{1}{2} (U_{1,3} + U_{3,1}) = -\frac{1}{2} (\psi_1 - \psi_{3,1}) \quad (7)$$

$$\varepsilon_{23} = \frac{1}{2} (U_{2,3} + U_{3,2}) = -\frac{1}{2} (\psi_2 - \psi_{3,2}) \quad (8)$$

براساس قانون هوک تعمیم‌یافته روابط تنش- کرنش به صورت رابطه (9) به دست می‌آید [14].

$$\begin{Bmatrix} \sigma_1 \\ \sigma_2 \\ \tau_{12} \\ \tau_{13} \\ \tau_{23} \end{Bmatrix}^{(k)} = \begin{bmatrix} c_{11} c_{12} & 0 & 0 & 0 \\ c_{21} c_{22} & 0 & 0 & 0 \\ 0 & 0 & G_{12} & 0 \\ 0 & 0 & 0 & G_{13} \\ 0 & 0 & 0 & 0 \end{bmatrix}^{(k)} \begin{Bmatrix} \varepsilon_1 \\ \varepsilon_1 \\ \gamma_{12} \\ \gamma_{13} \\ \gamma_{23} \end{Bmatrix}, \quad (9)$$

که  $G_{12}$  و  $G_{13}$  مدول برشی به ترتیب در جهت 3-1، 2-2 و 3-2 و  $\tau_{13}$  تنش‌های برشی است و بالانویس  $(k)$  به لایه  $k$  مربوط می‌شود. معادله بالا به دست آمده از (الف) تحت شرایط همسانی عرضی با فرض موازی بودن صفحه‌ها در جهت 2-3، 3-2 و 3-1، 2-1 می‌شود.  $\varepsilon_1 = \varepsilon_2 = \varepsilon_3$  باشد، همچنین که  $E_1 = E_2 = G_{13}$  و  $v_{12} = v_{13}$  است. (ب) حل معادله‌ها برای  $\varepsilon_3$  به عنوان تابعی از  $\varepsilon_1$  و  $\varepsilon_2$  و سپس حذف کردن آن است. در رابطه بالا ضرایب  $c_{ij}$  نیز به صورت روابط (13-10) تعریف می‌شود.

$$c_{22} = c_{11} = \frac{E_1}{1 - v_{12} v_{21}} \quad (10)$$

$$c_{12} = c_{21} = \frac{E_1 v_{12}}{1 - v_{12} v_{21}} \quad (11)$$

$$c_{22} = \frac{E_2}{1 - v_{12} v_{21}} \quad (12)$$

جدول 2 مقایسه فرکانس‌های بی بعد ورق سه‌لایه مستطیلی با شرایط مرزی کاملاً گیردار با دو دهانه برابر با مرجع [16] ( $a = 2, h/a = 0.01$ )

درصد خطا	تحقيق حاضر	[16] مرجع	درصد خطا	تحيق حاضر	[16] مرجع	شماره مود ارتعاشی
تکیه‌گاه گیردار و زاویه الیاف 30 درجه			تکیه‌گاه گیردار و زاویه الیاف 45 درجه			
0/003	71/85	71/123	0/12	72/558	72/4816	1
0/65	75/86	74/9087	1/0	80/0808	79/2584	2

جدول 3 مقایسه فرکانس‌های بی بعد ورق سه‌لایه مستطیلی با شرایط مرزی کاملاً ساده با دو دهانه برابر با مرجع [16] ( $a = 2, h/a = 0.01$ )

درصد خطا	تحقيق حاضر	[16] مرجع	درصد خطا	تحيق حاضر	[16] مرجع	شماره مود ارتعاشی
تکیه‌گاه ساده و زاویه الیاف 30 درجه			تکیه‌گاه ساده و زاویه الیاف 45 درجه			
0/037	53/852	53/8317	0/6	56/594	56/935	1
0/12	57/865	57/7929	1/2	63/054	62/2384	2

موردنرسی قرار گرفت. در این فصل به بررسی ارتعاش اجباری ورق چندلایه پرداخته و پاسخ اجباری ورق نسبت به اعمال نیرو به دست خواهد آمد. روشی که در این قسمت به کار گرفته می‌شود را روش بسط توابع ویژه گویند.

با به کار گیری روابط تعادل در دستگاه مختصات کارتزین و با استفاده از فرضیات تئوری مرتبه اول تغییر شکل برشی می‌توان معادلات دیفرانسیل حاکم بر رفتار دینامیکی ورق مستطیلی را به دست آورد:

$$M_{11,1} + M_{12,2} - Q_1 = I_1 \ddot{\psi}_1, \quad (27)$$

$$M_{12,1} + M_{22,2} - Q_2 = I_1 \ddot{\psi}_2, \quad (28)$$

$$Q_{1,1} + Q_{2,2} - N(\psi_3) + q = I_0 \ddot{\psi}_3, \quad (29)$$

در رابطه (29-27)  $M_{11}$ ,  $M_{22}$  و  $M_{12}$  گشتاورهای خمی،  $M_{12}$  گشتاور پیچشی،  $Q_1$  و  $Q_2$  نیروهای برشی عرضی و  $q$  نیروی عرضی عمودی بر لایه میانی ورق بر واحد سطح و  $I_1$ ,  $I_0$ ,  $I_0$  ممان اینرسی جرمی و  $N(\psi_3)$  نیروهای برشی عرضی ناشی از تنش‌های اولیه درون صفحه‌ای  $N_1$  و  $N_2$  در امتداد محور  $x_3$  است، که رابطه بین گشتاورها و نیروهای برشی با جایه‌جایی‌ها در تئوری تغییر شکل برشی مرتبه نخست به صورت روابط (30-31) است.

$$\begin{Bmatrix} M_{11} \\ M_{22} \\ M_{12} \end{Bmatrix} = \begin{Bmatrix} B_{11}B_{12}B_{16} \\ B_{12}B_{22}B_{26} \\ B_{16}B_{26}B_{66} \end{Bmatrix} \begin{Bmatrix} \psi_{1,1} + \frac{1}{2}\psi_{3,1}^2 \\ \psi_{2,1} + \frac{1}{2}\psi_{3,2}^2 \\ \psi_{1,2} + \psi_{2,1} + \psi_{3,1}\psi_{3,2} \end{Bmatrix} \quad (30)$$

$$+ \begin{Bmatrix} D_{11}D_{12}D_{16} \\ D_{12}D_{22}D_{26} \\ D_{16}D_{26}D_{66} \end{Bmatrix} \begin{Bmatrix} \psi_{1,1} \\ \psi_{2,1} \\ \psi_{1,2} + \psi_{2,1} \end{Bmatrix}, \quad (31)$$

$$\begin{Bmatrix} Q_2 \\ Q_1 \end{Bmatrix} = K \begin{Bmatrix} A_{44}A_{54} \\ A_{45}A_{55} \end{Bmatrix} \begin{Bmatrix} \psi_{3,2} - \psi_2 \\ \psi_{3,1} - \psi_1 \end{Bmatrix}, \quad (32)$$

که در رابطه (32)،  $K$  ضریب اصلاح تنش برشی است و همچنین برای صفحه مستطیلی می‌توان به صورت روابط (34.33) نوشت.

$$N(\psi_3) = N_1\psi_{3,11} + N_2\psi_{3,22}, \quad (33)$$

$$[I_0, I_1, I_2] = \sum_{k=1}^n \int_{h_{k-1}}^{h_k} \rho^k [1, z, z^2] dz, \quad (34)$$

ضرایب خطی غیرمعین تابع زمان و  $G_1$ ,  $G_2$  و  $G_3$  توابع اساسی است. توابع اساسی باید شرایط مرزی سینماتیکی مسئله را ارضا کنند. چنان‌چه توابع  $\tilde{\psi}_1$ ,  $\tilde{\psi}_2$  و  $\tilde{\psi}_3$  در روابط (21-19) در عبارت لاگرانژین جانشین شود در این صورت رابطه (23) را داریم.

$$L^* = U^* - T^* \quad (23)$$

حال جهت مینیمم کردن لاگرانژین باید روابط (24-26) را بررسی کرد.

$$\frac{\delta L^*}{\delta a_n} = 0, \quad n = 1, 2, \dots, \frac{(N_1 + 1)(N_1 + 2)}{2}, \quad (24)$$

$$\frac{\delta L^*}{\delta b_n} = 0, \quad n = 1, 2, \dots, \frac{(N_1 + 1)(N_1 + 2)}{2}, \quad (25)$$

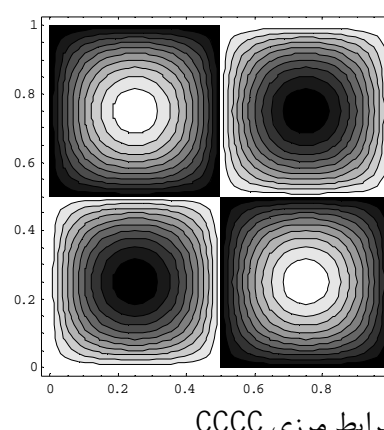
$$\frac{\delta L^*}{\delta c_n} = 0, \quad n = 1, 2, \dots, \frac{(N_1 + 1)(N_1 + 2)}{2}, \quad (26)$$

معادلات (26-24) یک دستگاه معادلات خطی همگن را به دست می‌دهند که از حل آن‌ها مقادیر ویژه و بردارهای ویژه مربوطه حاصل می‌گردد. در شکل 2 نمایی از دو مود اول ورق مستطیلی مرکب سه لایه مستقر بر بستر خطی تحت ارتعاش آزاد با شرایط مرزی متفاوت <sup>1</sup>CCCC و CFCS (کاملاً گیردار) را نشان می‌دهد. همان‌طور که مشخص است تفاوت شرایط مرزی سبب اختلاف زیادی در شکل مودهای ارتعاشی ورق مرکب لایه‌ای شده است.

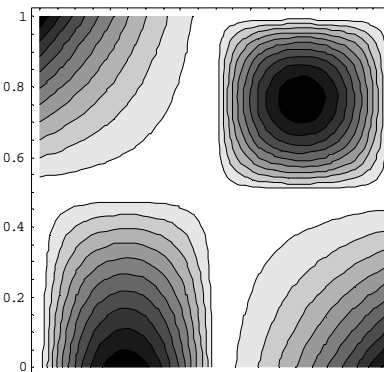
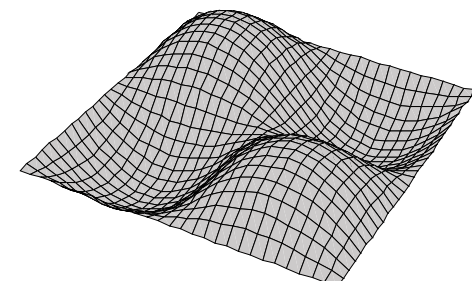
جدول‌های 2 و 3 مربوط به مقایسه‌ای بین داده‌های به دست آمده در این تحقیق و داده‌های مرجع [16] است. شرایط مرزی و تمامی اندازه و ابعادها در تحقیق حاضر با مرجع مورد مقایسه یکسان بوده و نتایج به دست آمده نیز همان‌طور که مشخص است توافق خوبی با نتایج مراجع دارند. (درصد خطای کمتر از 2 درصد باشد).

### 3- روش بسط مود در ارتعاش اجباری ورق مستطیلی چند لایه

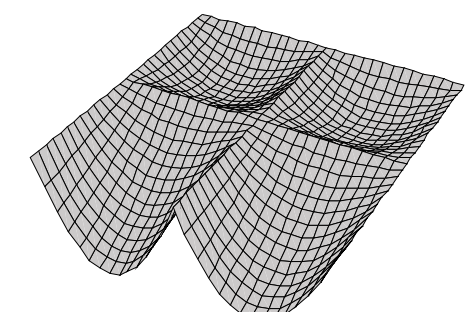
در بخش پیشین، ارتعاش آزاد ورق به نسبت ضخیم مستطیلی بررسی شده و فرکانس‌های طبیعی و شکل مودهای ارتعاشی برای شرایط مرزی مختلف ورق



شکل مود اول ارتعاشی ورق با شرایط مرزی CCCC



شکل مود نخست ارتعاشی ورق با شرایط مرزی CFCS



شکل 2 نمایی از داده‌های به دست آمده در این رابطه (23) را داریم.

$$(a=2, \frac{h}{L}=0.01)$$

1- Fully Clamped Supports  
2- Clamp Free Clamp Simply Support

$$KA_{55}(a\tilde{\psi}_{1,1} - \tilde{\psi}_{3,11}) + KA_{44}(a\eta\tilde{\psi}_{2,2} - \eta^2\tilde{\psi}_{3,22}) + \tilde{N}_1\psi_{3,11} + \tilde{N}_2\eta^2\psi_{3,22} + \tilde{P}a^2 = I_0a^2\omega^2\ddot{\psi}_3, \quad (52)$$

که در رابطه (52)،  $\tilde{P}$  به صورت رابطه (53) خواهد بود.

$$\tilde{p}(X_1, X_2, \tilde{t}) = p_1(x_1, x_2)F(t)a^2 \quad (53)$$

نیروی عرضی بی‌بعد است. پاسخ ورق نسبت به نیروی  $\tilde{p}(X_1, X_2, \tilde{t})$  را به صورت بسط مودها در نظر گرفته می‌شود که ترکیبی از شکل مودهای ارتعاشی تحریک‌شده ورق در اثر اعمال نیروی  $\tilde{p}(X_1, X_2, \tilde{t})$  است.

$$\tilde{\psi}(X_1, X_2, \tilde{t}) = \sum_{m=1}^{\infty} \sum_{n=1}^{\infty} \tilde{\psi}_3^{mn}(X_1, X_2)T^{mn}(\tilde{t}), \quad (54)$$

که در رابطه (53)،  $\tilde{\psi}_3^{mn}(X_1, X_2)$  شکل توابع مود ارتعاشی،  $m$  و  $n$  شماره نیم موج‌ها به ترتیب در راستاهای  $X_1$  و  $X_2$  و  $T^{mn}(\tilde{t})$  توابع زمانی متناسب با شکل مود است. با جایگزین کردن این روابط در معادلات حرکت، روابط (55) به دست خواهد آمد.

$$\sum_{m=1}^{\infty} \sum_{n=1}^{\infty} \left( KA_{55}(a\tilde{\psi}_{1,1} - \tilde{\psi}_{3,11}) + \tilde{N}_1\psi_{3,11} \right. \\ \left. + KA_{44}(a\eta\tilde{\psi}_{2,2} - \eta^2\tilde{\psi}_{3,22}) + \tilde{N}_2\eta^2\psi_{3,22} \right) \\ T^{mn}(\tilde{t}) + \tilde{p} = I_0a^2 \sum_{m=1}^{\infty} \sum_{n=1}^{\infty} \left( [\tilde{\psi}_3^{mn}] \ddot{T}^{mn}(\tilde{t}) \right), \quad (55)$$

تابع شکل مود ارتعاشی در معادلات ارتعاش آزاد ورق صدق می‌کند. با استفاده از روابط (32-30) می‌توان معادلات ارتعاش آزاد ورق را به صورت رابطه بی‌بعد (56) نوشت.

$$KA_{55}(a\tilde{\psi}_3^{mn} - \tilde{\psi}_{3,11}^{mn}) + KA_{44}(a\eta\tilde{\psi}_3^{mn} - \eta^2\tilde{\psi}_3^{mn}) \\ + \tilde{N}_1\tilde{\psi}_{3,11}^{mn} + \tilde{N}_2\eta^2\tilde{\psi}_{3,22}^{mn} = I_0(\omega^{mn})^2\tilde{\psi}_3^{mn}, \quad (56)$$

با جایگزین کردن روابط (40-33) در روابط (42.41) و ساده‌سازی، رابطه (57) به دست می‌آید.

$$I_0a^2 \sum_{m=1}^{\infty} \sum_{n=1}^{\infty} ((\omega^{mn})^2 [\tilde{\psi}_3^{mn}] T^{mn}(\tilde{t})) + \tilde{P}, \\ = I_0a^2 \sum_{m=1}^{\infty} \sum_{n=1}^{\infty} ([\tilde{\psi}_3^{mn}] \ddot{T}^{mn}(\tilde{t})), \quad (57)$$

با توجه به رابطه (57) رابطه تعامد شکل مودهای ارتعاشی را برای ورق‌های به نسبت ضخیم به صورت رابطه (58) می‌توان تعریف کرد.

$$\tilde{\psi}_3(X_1, X_2, \tilde{t}) = \sum_{m=1}^{\infty} \sum_{n=1}^{\infty} \frac{1}{K^{mn}\beta^{mn}} \tilde{\psi}_3^{mn}(X_1, X_2) \\ \times \int_0^{\tau} Q^{mn}(\tau) \sin[\beta^{mn}(\tilde{t} - \tau)] d\tau, \quad (58)$$

همان‌طور که مشخص است، با داشتن فرکانس‌های طبیعی و با استفاده از رابطه (57) می‌توان جابه‌جایی عرضی ورق را به دست آورد. در رابطه با ورق چند لایه مستقر بر بستر خطی در رابطه (58) باید حدود انتگرال را در موقعیت‌های بستر تعیین کرد و سپس انتگرال‌گیری کرده و جابه‌جایی‌ها را در کنار هم قرار داد.

#### 4- کنترل سیستم با استفاده از وصله‌های کمتر

با استفاده از 4 جفت وصله پیزوالکتریک می‌توان برای 4 مود نخست جای‌دهی دلخواه قطب انجام داد (شرط لازم و کافی). به عبارت دیگر 4 جفت وصله برای کنترل 4 مود نخست کافی است، ولی لازم نیست برای کنترل 4 مود از 4 جفت وصله استفاده شود، همان‌طور که در ادامه یاد می‌شود می‌توان با تعداد وصله‌های کمتر نیز 4 مود نخست را کنترل کرد. هنگامی که کاهش ارتعاشات تمام ورق از اهمیت یکسانی برخوردار باشد، استفاده از آرایش

و  $n$  نیز تعداد لایه‌های است. در رابطه بالا  $A_{ij}$  و  $B_{ij}$  به ترتیب استحکام کششی<sup>1</sup>، استحکام خمشی<sup>2</sup> و استحکام کوپل شده کششی و خمشی<sup>3</sup> است، که به صورت روابط (37-35) تعریف می‌شوند.

$$A_{ij} = \sum_{k=1}^N \bar{Q}_{ij}^{(k)} (z_{k+1} - z_k), \quad (35)$$

$$B_{ij} = \frac{1}{2} \sum_{k=1}^N \bar{Q}_{ij}^{(k)} (z_{k+1}^2 - z_k^2), \quad (36)$$

$$C_{ij} = \frac{1}{3} \sum_{k=1}^N \bar{Q}_{ij}^{(k)} (z_{k+1}^3 - z_k^3), \quad (37)$$

که روابط (39.38) به صورت زیر است.

$$\bar{Q}_{11}^{(k)} = \frac{E_1^k}{1 - \nu_{12}^k \nu_{21}^k}, \quad \bar{Q}_{12}^{(k)} = \frac{\nu_{12}^k E_1^k}{1 - \nu_{12}^k \nu_{21}^k}, \\ \bar{Q}_{22}^{(k)} = \frac{E_2^k}{1 - \nu_{12}^k \nu_{21}^k}, \quad (38)$$

$$\bar{Q}_{16}^{(k)} = 0, \quad \bar{Q}_{26}^{(k)} = 0, \quad \bar{Q}_{66}^{(k)} = G_{12}^k, \quad \bar{Q}_{44}^{(k)} = G_{23}^k, \\ \bar{Q}_{55}^{(k)} = G_{13}^k, \quad (39)$$

برای صفحه ارتropیک لایه‌ای متقارن، ماتریس‌های گشتاورهای خمشی و نیروهای برشی به صورت روابط (41.40) ساده می‌شوند.

$$\begin{Bmatrix} M_{11} \\ M_{22} \\ M_{12} \end{Bmatrix} = \begin{Bmatrix} B_{11}B_{12} & 0 \\ B_{12}B_{22} & 0 \\ 0 & 0 B_{66} \end{Bmatrix} \begin{Bmatrix} \psi_{1,1} + \frac{1}{2}\psi_{3,1}^2 \\ \psi_{2,1} + \frac{1}{2}\psi_{3,2}^2 \\ \psi_{1,2} + \psi_{2,1} + \psi_{3,1}\psi_{3,2} \end{Bmatrix} \quad (40)$$

$$\begin{Bmatrix} Q_2 \\ Q_1 \end{Bmatrix} = K \begin{Bmatrix} A_{44} & 0 \\ 0 & A_{55} \end{Bmatrix} \begin{Bmatrix} \psi_{3,2} - \psi_2 \\ \psi_{3,1} - \psi_1 \end{Bmatrix} \quad (41)$$

با استفاده از معادلات حرکت در ترم‌های جابه‌جایی و با استفاده از روابط (29-27) می‌توان روابط (45-42) را نوشت.

$$D_{11}\psi_{1,11} + D_{12}\psi_{2,12} + D_{66}(\psi_{1,22} + \psi_{2,12}) \quad (42)$$

$$-KA_{55}(\psi_1 - \psi_{3,1}) = I_1\ddot{\psi}_1, \quad (43)$$

$$D_{22}\psi_{2,22} + D_{12}\psi_{2,12} + D_{66}(\psi_{1,22} + \psi_{2,11}) \\ -KA_{44}(\psi_2 - \psi_{3,2}) = I_1\ddot{\psi}_2, \quad (44)$$

$$KA_{55}(\psi_{1,1} - \psi_{3,11}) + KA_{44}(\psi_{2,2} - \psi_{3,22}) + \\ N_1\psi_{3,11} - N_2\eta^2\psi_{3,22} + P = I_0\ddot{\psi}_3, \quad (45)$$

اگر<sup>w</sup> فرکانس طبیعی ارتعاش آزاد ورق چند لایه باشد، آنگاه روابط (48-46) را به صورت زیر خواهیم داشت.

$$\psi_1(x_1, x_2) = \bar{\psi}_1(x_1, x_2, t)e^{i\omega t} \quad (46)$$

$$\psi_2(x_1, x_2) = \bar{\psi}_2(x_1, x_2, t)e^{i\omega t} \quad (47)$$

$$\psi_3(x_1, x_2) = \bar{\psi}_3(x_1, x_2, t)e^{i\omega t} \quad (48)$$

جهت عمومیت بخشیدن و تسهیل در استفاده از روابط حاصله با استفاده از پارامترهای بی‌بعد روابط (51-49) معادلات دیفرانسیل حاکم بی‌بعد می‌شوند.

$$X_1 = \frac{x_1}{a}, \quad X_2 = \frac{x_2}{b}, \quad \eta = \frac{a}{b}, \quad \tilde{t} = t, \quad (49)$$

$$(\tilde{\psi}_1, \tilde{\psi}_2, \tilde{\psi}_3) = (\psi_1, \bar{\psi}_2, \bar{\psi}_3), \quad (50)$$

$$(\tilde{N}_1, \tilde{N}_2) = (N_1, N_2), \quad (51)$$

با جایگزین کردن معادلات (51-49) در معادله (45) معادله دینامیکی بی‌بعد حرکت ورق لایه‌ای مستطیلی در راستای عرضی ورق براساس روابط (52) به دست می‌آید.

1- extensional stiffness

2- bending stiffness

3- bending-extensional coupling stiffness

سیستم پیوسته صفحه مرکب لایه‌ای را با 10 المان مدل‌سازی کرده و رابطه (59) را خواهیم داشت.

$$M_T \ddot{x} + K_T x = F \quad (59)$$

ورودی‌ها و خروجی‌ها در معادله (59) به صورت رابطه (60) بیان می‌شود.

$$x = \begin{bmatrix} \theta_1 \\ \theta_2 \\ \vdots \\ \theta_9 \\ \theta_9 \end{bmatrix}, \quad F = \begin{bmatrix} F_1 \\ M_1 \\ \vdots \\ F_9 \\ M_9 \end{bmatrix}, \quad (60)$$

در محیط متلب ماتریس‌های جرمی و فنری را نوشته و معادله دیفرانسیلی را تشکیل داده که البته بخش تحریک را به شکل مجموع دو ترم رابطه (61) نمایش داده می‌شود.

$$f = r_w * W + r_m * M_a \quad (61)$$

$r_w$  ماتریس مربوط به نیروی خارجی که موقعیت آن با ماتریس رابطه (62) مشخص می‌شود.

$$r_w = [0 \ 0 \ 0 \ 0 \ \dots \ 0 \ 0 \ 1 \ 0] \quad (62)$$

$r_m$  ماتریس مربوط به نیروی پیزوالکتریک که موقعیت آن نیز مانند ماتریس بالا مشخص می‌شود. با به دست آمدن معادلات ارتعاشی سیستم و گسته‌سازی صفحه پیوسته، می‌توان پاسخ سیستم را به ورودی‌های مختلف به دست آورد.

#### 1-1-5 مدل فضای حالت کل سیستم

برای یافتن پاسخ سیستم به ورودی‌های مختلف، می‌توان از تئوری کنترل سود جست که کار را به صورت رابطه (63) به مرتب ساده‌تر می‌کند [19-17].

$$\dot{x} = Ax + Bu \\ y = Cx + Du \quad (63)$$

در حالت کلی معادلات را می‌توان به صورت روابط (64) نیز نمایش داد.

$$\begin{bmatrix} \dot{q} \\ \ddot{q} \end{bmatrix} = \begin{bmatrix} 0_{n \times n} & I_{n \times n} \\ -M_s^{-1}K_s & -M_s^{-1}C_s \end{bmatrix} \begin{bmatrix} q \\ \dot{q} \end{bmatrix} \\ + \begin{bmatrix} 0_{n \times 1} & 0_{n \times 1} \\ -M_s^{-1}r_w & -M_s^{-1}r_M C_a \end{bmatrix} \begin{bmatrix} w(t) \\ u(t) \end{bmatrix} \quad (64)$$

$$\begin{bmatrix} z \\ y \end{bmatrix} = \begin{bmatrix} \theta_m \\ \ddot{\theta}_m \end{bmatrix} = \begin{bmatrix} r_z & 0_{1 \times n} \\ -M_s^{-1}(m,:)K_s & -M_s^{-1}(m,:C_s) \end{bmatrix} \begin{bmatrix} q \\ \dot{q} \end{bmatrix} \\ + \begin{bmatrix} 0_{n \times 1} & 0_{n \times 1} \\ -M_s^{-1}r_w & -M_s^{-1}r_M C_a \end{bmatrix} \quad (65)$$

که در رابطه ماتریسی روابط (64) به صورت رابطه (66) داریم.

$$C_s = \alpha \times K + \beta \times M, \\ C_a = -d_{31} \frac{t_a + t_b}{2} \frac{E_a t_b E_b}{E_a t_a + t_b E_b} w \quad (66)$$

$w$  عرض صفحه،  $t_b$  ضخامت صفحه،  $t_a$  ضخامت پیزو،  $E$  مدول الاستیسیته صفحه،  $d_{31}$  ثابت کرنش پیزوالکتریک به صورت روابط (67) است.

$$A_{n \times n} = \begin{bmatrix} 0_{n \times n} & I_{n \times n} \\ -M_s^{-1}K_s & -M_s^{-1}C_s \end{bmatrix} \quad (67)$$

$$B_{n \times 2} = \begin{bmatrix} 0_{n \times 1} & 0_{n \times 1} \\ M_s^{-1}r_w & M_s^{-1}r_M C_a \end{bmatrix} \quad (68)$$

در رابطه بالا میرایی تناسبی و  $K_s$  و  $M_s$  نرمال شده ماتریس‌های جرم و سختی به صورت روابط (69) است.

$$C_{2 \times n} = \begin{bmatrix} r_w & 0_{1 \times n} \\ -M_s^{-1}(m,:)K_s & -M_s^{-1}(m,:C_s) \end{bmatrix} \quad (69)$$

متقارن وصله‌ها و توزیع یکسان ضرایب کنترل کننده مناسب است. در حالی که کاهش ارتعاش منطقه خاصی از ورق مد نظر باشد به قطع توزیع یکنواخت ضرایب کنترل کننده مناسب نیست، باید ضرایب کنترل کننده در منطقه مورد نظر افزایش یابد تا به این منطقه از ورق نیروی بیشتری وارد شود.

تمرکز ضرایب کنترل کننده در منطقه خاصی از ورق سبب می‌شود که اثر وصله‌های سایر مناطق که دارای ضرایب کنترل کننده کمتری هستند کاهش یابد؛ بنابراین می‌توان از اثرات کنترلی این وصله‌ها صرف‌نظر کرده و آن‌ها را حذف کرد.

## 5- طراحی کنترل کننده

### 1- طراحی کنترل کننده رگلاتور خطی درجه دوم، گوسی خطی درجه دوم

ماده‌ای که می‌تواند یک یا چند تحریک خارجی مانند فشار، دما، ولتاژ، میدان‌های الکترومغناطیسی و ... را حس کرده و به آن‌ها پاسخ دهد ماده فعال نامیده می‌شود. مواد فعال که گاهی مواد هوشمند نیز نامیده می‌شوند به دلیل کاربرد در شاخه‌های مهندسی، دارای اهمیت ویژه‌ای است. رایج‌ترین مواد فعال، مدل‌های پیزوالکتریک هستند که برای کنترل سازه‌های صفحه، خرپا، ورق و پوسته به کار می‌روند. یکی از مهم‌ترین سازه‌های کابردی، سازه ورق است که کاهش ارتعاشات آن اهمیت زیادی در صنعت به‌ویژه در هواپیما دارد.

گاهی ممکن است کاهش ارتعاش نقطه خاصی از ورق برای طراح مهندم باشد. به عبارت دیگر ممکن است لازم نباشد که همه نقاط ورق با سرعت یکسان کنترل شوند. این حالت ممکن است زمانی رخ دهد که برای نمونه کنار این نقطه معین دستگاه حساسی قرار داشته باشد. در این تحقیق کاهش ارتعاشات یک نقطه خاص از ورق بررسی می‌شود.

البته برای کنترل ارتعاشات یک صفحه از مدل‌سازی زیر کمک گرفته شده است. بدین منظور، روابط ریاضی حاکم بر فیزیک مسئله را به دست آورده و معادلات مربوط به حرکت را به همراه پیزوالکتریک و با اعمال فرضیات زیر به دست آورده می‌شود.

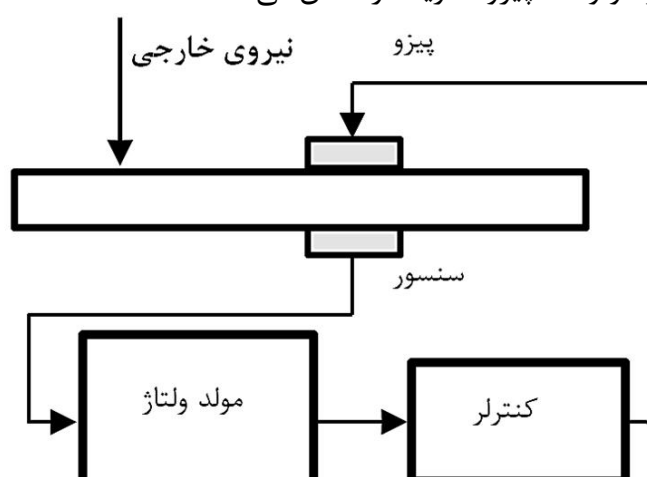
فرضیات:

- (1) از اثر تغییرات درجه حرارت بر پیزو المان صرف‌نظر شده است.
- (2) از سختی و ضخامت چسب بین پیزو و صفحه صرف‌نظر شده است.

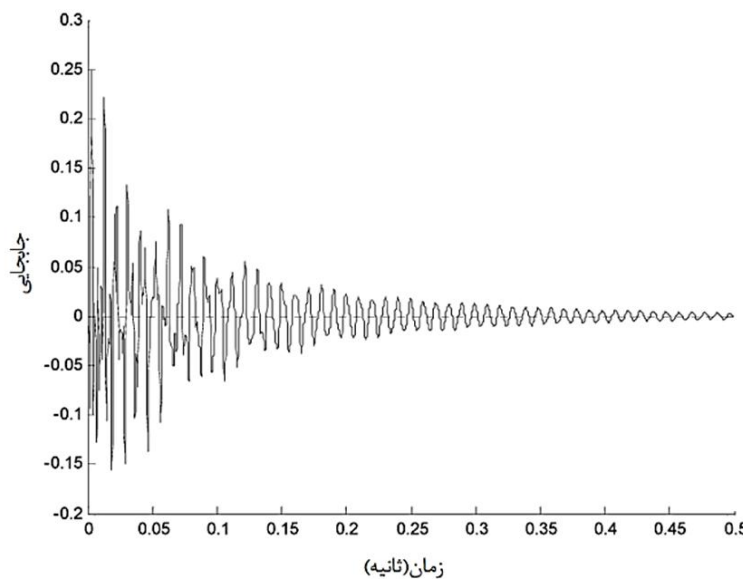
- (3) اتصال بین پیزو و صفحه ایده‌آل فرض شده است.
- (4) صفحه با 10 المان مدل شده است.

- (5) از وزن وصله‌های پیزو در برابر وزن ورق صرف‌نظر شده است.

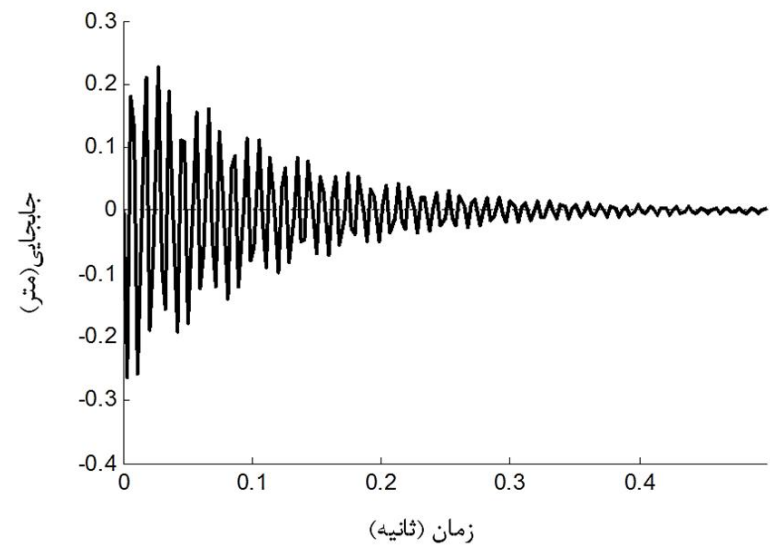
شکل 3 نمایی کلی از یک کنترل کننده برای کنترل ارتعاشات صفحه با استفاده از دو وصله پیزوالکتریک را نشان می‌دهد.



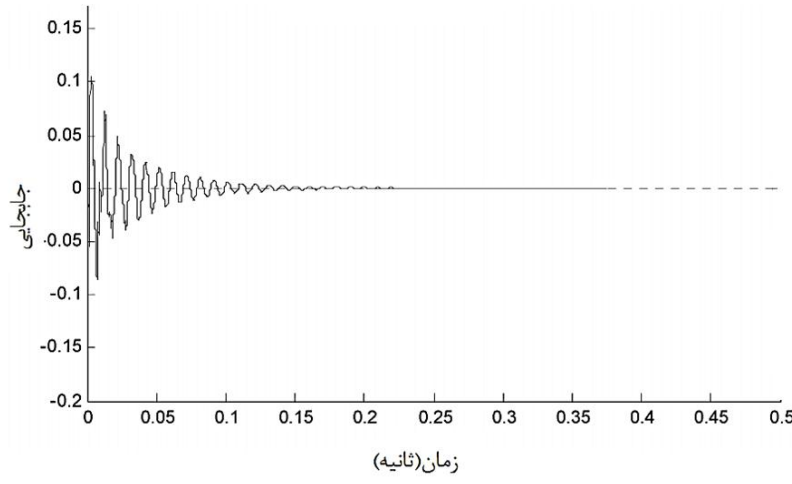
شکل 3 ورق مستطیلی با وصله پیزوالکتریک بر ورق



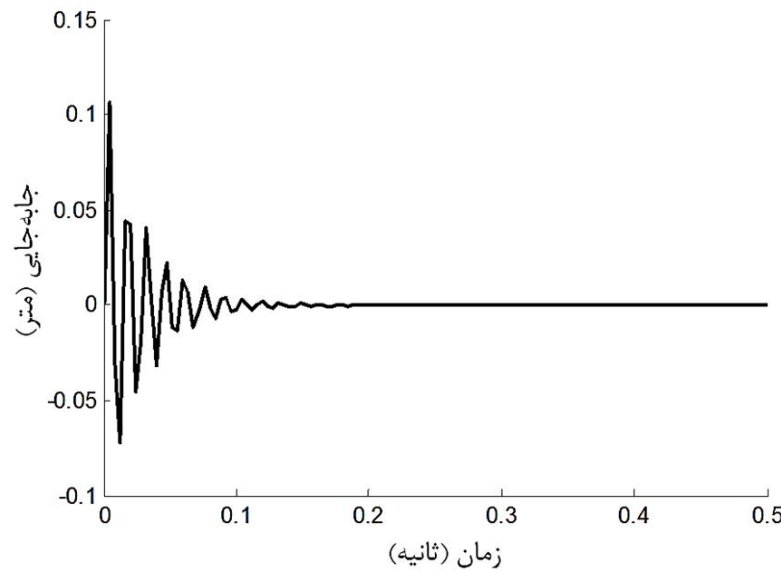
شکل 5 پاسخ زمانی ارتعاش اجباری صفحه مستطیل شکل با تکیه‌گاه ساده تحت نیروی ضربه بدون کنترل کننده [9].



شکل 6 پاسخ زمانی ارتعاش اجباری صفحه مستطیل شکل با تکیه‌گاه ساده تحت نیروی ضربه بدون کنترل کننده با استفاده از روش حاضر در این مقاله



شکل 7 پاسخ زمانی ارتعاش اجباری ورق مستطیل شکل با تکیه‌گاه ساده تحت نیروی ضربه با کنترل کننده رگلاتور خطی درجه دوم [9].



شکل 8 پاسخ زمانی ارتعاش اجباری صفحه مستطیل شکل با نیروی ضربه با استفاده از استفاده از روش حاضر در این مقاله

$$D_{2 \times 2} = \begin{bmatrix} 0_{n \times 1} & 0_{n \times 1} \\ -M_s^{-1}(m,:)r_w & -M_s^{-1}(m,:)\bar{r}_M c_a \end{bmatrix} \quad (70)$$

همان‌طور که مشخص است، سیستم بالا دو ورودی - دو خروجی است که ورودی نخست نیروی خارجی و ورودی دوم نیروی اعمالی پیزو است. دو خروجی نیز به ترتیب جایه‌جایی عمودی و دیگری شتاب در راستای عمود بر صفحه است.

## 2-1-5 کنترل ارتعاش اجباری ورق مستطیلی چند لایه با بستر خطی

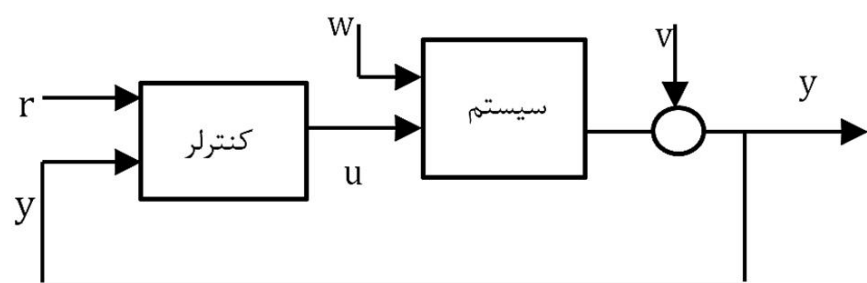
در این بخش به بررسی کنترل ارتعاش اجباری ورق مستطیلی چند لایه کلمپ شده با بستر خطی تحت نیروی خارجی پله پرداخته و با استفاده از داده‌های خروجی نرم‌افزار مطلب در رابطه با ارتعاش اجباری و همچنین استفاده از روابط (69-67) ماتریس‌های A, B, C و D بازنویسی خواهند شد، سپس نتایج مورد تجزیه و تحلیل قرار می‌گیرند. البته در کنترل صفحه از تعداد دو عدد پیزوالکتریک استفاده شده است.

در کنترلر رگلاتور خطی درجه دوم اثر نویز در سیستم را که در شکل 4، در نظر گرفته نمی‌شود. سیستم مورد بررسی دو ورودی داشته که  $r$  ورودی مطلوب بوده (در اینجا  $r = 0$  است) و  $u$  به شکلی تنظیم می‌شود که اثر اغتشاش  $w$  وارد به سیستم مشابه  $r$  با همان مقدار، صفر شود [24-20].

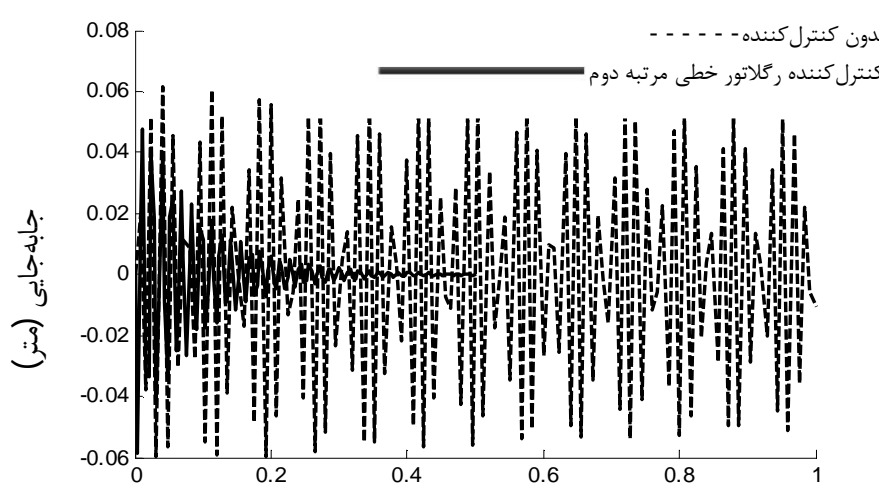
مرجع [9] به بررسی کنترل ارتعاش اجباری صفحه مستطیلی با تکیه ساده در اطراف به همراه میراکننده و نیروی اجباری ضربه پرداخته است. در این بررسی موقعیت وصله‌های پیزوالکتریک را ربع نخست و یک وصله در ربع چهارم جای‌دهی شده است. همان‌طور که در شکل 5 مشاهده می‌شود با اعمال نیروی ضربه به صفحه پاسخ زمانی پس از 0/5 ثانیه به مقدار صفر نزدیک می‌شود و این در حالی است که با استفاده از کنترل کننده رگلاتور خطی درجه دوم پس از 0/15 ثانیه ارتعاش صفحه کنترل شده و به مقدار صفر همگرا می‌شود، که در شکل 7 نشان داده شده است. البته این نتیجه مربوط به مرکز صفحه است و نیرو نیز به همان مرکز صفحه اعمال می‌شود. حال به بررسی و صحه‌گذاری بر این نتایج پرداخته‌ایم. شکل 6 مربوط به پاسخ ارتعاش اجباری به نیروی ضربه و همچنین شکل 8 کنترل ارتعاشات ورق مستطیلی با روش رگلاتور خطی درجه دوم را نشان می‌دهد. و البته کاملاً مشخص است که توافق خوبی بین نتیجه به دست آمده و نتایج ارائه شده در مرجع [9] وجود دارد.

## 6- کنترل کننده فازی

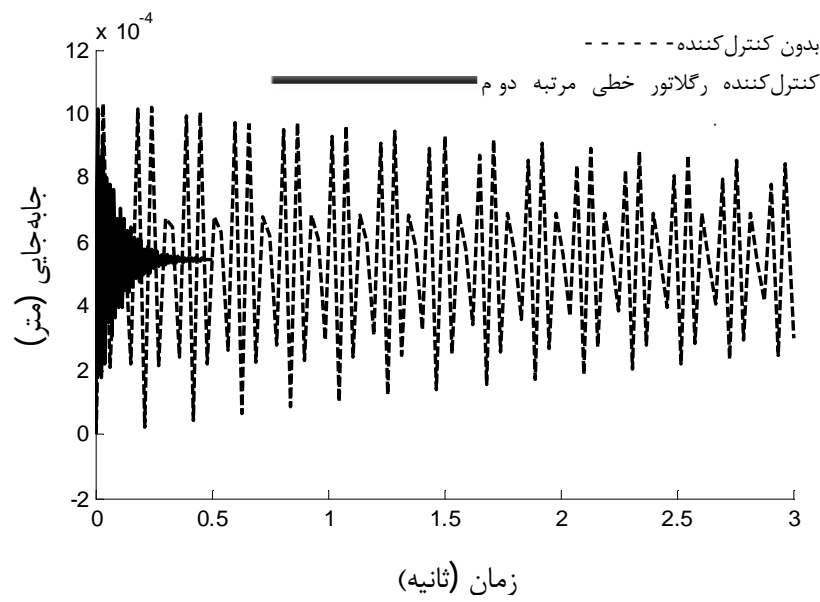
هدف در طراحی کنترل کننده تناسبی - مشتقی - انتگرالی این است که، خروجی کنترل کننده ورودی مرجع را دنبال کند. ابتدا مدلی از سیستم صفحه چهار لایه با زاویه (90.0, 90.0, 0, 0) و  $a = 0/02$  و  $h = 0.02$  لایه با بستر خطی تحت تکیه‌گاه کلمپ شده را به دست آورده و این کار را با دانستن ماتریس‌های A, B, C و D که در بخش مربوط به کنترل کننده رگلاتور خطی درجه دوم توضیح داده شد در نظر گرفته و سپس به طراحی کنترل کننده تناسبی - مشتقی - انتگرالی فازی پرداخته شده است.



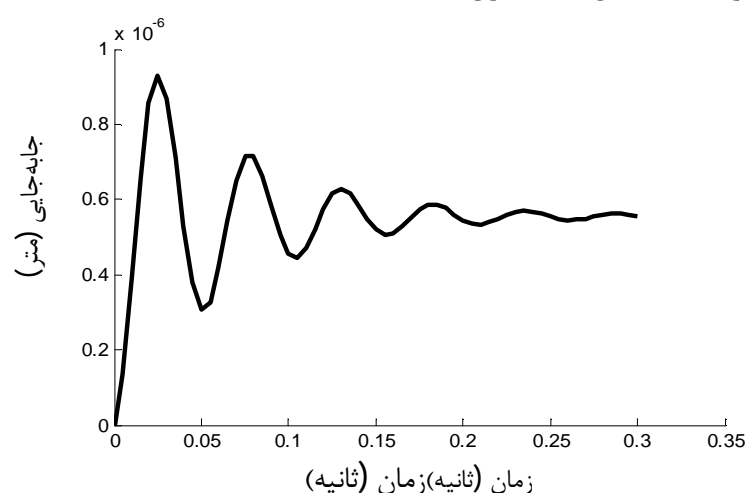
شکل 4 بلوك دیاگرام کنترلر رگلاتور خطی درجه دوم و گوسی خطی درجه دوم



شکل ۱۰ پاسخ زمانی ارتعاشات اجباری ورق مستطیلی سه‌لایه مستقر بر بستر خطی تحت نیروی ضربه در موقعیت  $(7l_x/8, 7l_y/8)$



شکل ۱۱ پاسخ زمانی ارتعاشات اجباری ورق مستطیلی سه‌لایه مستقر بر بستر خطی تحت نیروی ضربه در موقعیت  $(7l_x/8, 7l_y/8)$   
سمت خطای حالت دائمی تقریباً صفر هدایت کرده است. نقطه ضعف این روش این است که کمی کند بوده، ولی خطای حالت دائمی بسیار خوبی نتیجه می‌دهد. این کنترلر تغییرات سیستم را بسیار هموار و آرام اعمال می‌کند. برای ورودی اختشاش ضربه نیز شرایطی مشابه بالا دارد. پاسخ ارتعاشات کنترل شده با کنترل کننده گوسی خطی درجه دوم در شکل‌های ۱۲ و ۱۳ نشان داده شده است. همان‌طور که در شکل‌های ۱۲ و ۱۳ مشاهده می‌شود، این کنترلر به خوبی ارتعاشات سیستم را خنثی کرده و به



شکل ۱۲ پاسخ زمانی ارتعاشات کنترل شده ورق مستطیلی سه‌لایه مستقر بر بستر خطی تحت نیروی پله در موقعیت  $(7l_x/8, 7l_y/8)$

ورودی نخست مربوط به سیگنال خطای ناشی از اختلاف بین نیروی اجباری و نیروی حاصل از پیزو است. سهتابع عضویت از نوع مثلثی و با اسامی منفی ( $N$ ), صفر ( $Z$ ) و مثبت ( $P$ ) درنظر گرفته شده است. ورودی دوم مربوط به جابه‌جایی است که متغیرها و عضوهای مربوط به ورودی دوم نیز مانند ورودی نخست تعریف می‌شوند. خروجی که برای سیستم درنظر گرفته شده همان  $\mathbf{u}$  ولتاژ پیزوالکترویک که دامنه آن را نیز  $[0, 20]$  است. پنجتابع عضویت برای آن درنظر گرفته شده است که عبارتند از: خیلی منفی ( $LN$ ), کمی منفی ( $SN$ ), صفر ( $Z$ ), کمی مثبت ( $SP$ ), خیلی مثبت ( $LP$ ).

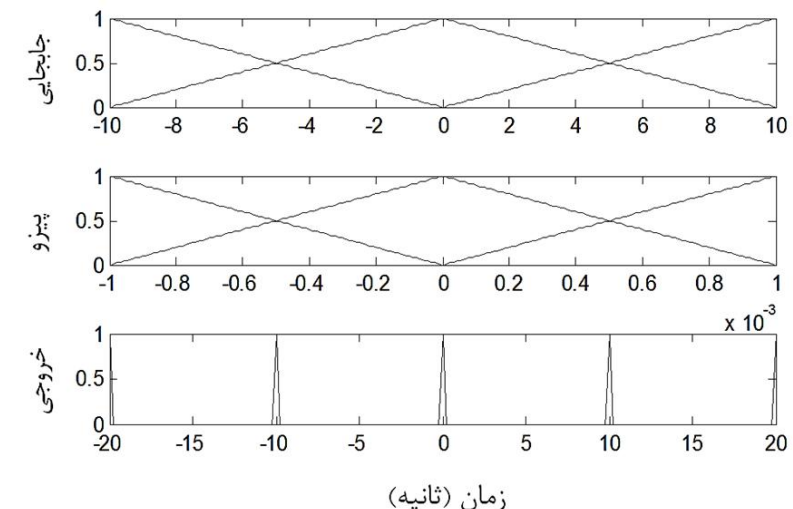
ابتدا با تعریف سیستم استنتاج فازی و انتخاب نوع سیستم فازی ممدانی ورودی‌ها و خروجی‌ها یا همان توابع عضویت به صورت شکل ۹ معرفی می‌شوند.

حال باید قوانینی گذاشته شود که رابطه ورودی‌ها و خروجی‌های کنترلی را نشان دهنده تا بتوان رفتار سیستم را پس از اعمال ورودی‌ها کنترل کرد. البته این قوانین براساس دانسته‌های پیشین تعیین می‌شوند. یعنی در این روش کنترلی باید رفتار سیستم کاملاً معلوم باشد تا بتوان این قوانین را به درستی تعیین کرد. قوانین اگر و آن‌گاه برای صفحه چهارلایه مستقر بر بستر خطی به صورت جدول ۴ است.

## 7-بحث و بررسی نتایج

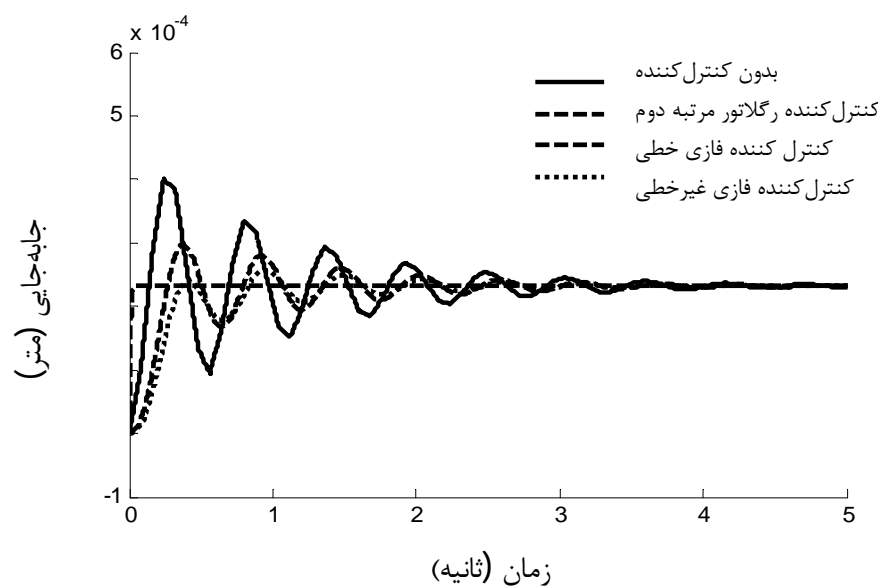
در این تحلیل از صفحه لایه‌ای مستقر بر بستر خطی که در میانه صفحه قرار گرفته، استفاده شده است. در شکل‌های ۱۰ و ۱۱ پاسخ ارتعاشات ورق مستطیلی سه‌لایه با زوایای  $(45, 45, -45)$  مستقر بر بستر خطی و شرایط مرزی  $CCCC$ ، تحت نیروی اجباری ضربه و پله در مکان  $(7l_x/8, 7l_y/8)$  نشان داده شده است.

در شکل‌های ۱۲ و ۱۳ کنترل ارتعاشات ورق مستطیلی سه‌لایه مستقر بر بستر خطی و شرایط  $CCCC$ ، تحت نیروی اجباری پله با روش رگلاتور خطی درجه دو مدار نقاط پیزو  $(5l_x/8, 5l_y/8)$  و  $(7l_x/8, 7l_y/8)$  و مکان اعمال نیرو در  $(7l_x/8, 7l_y/8)$ ، نیز نشان داده شده است. همان‌طور که مشاهده می‌شود، این کنترلر به خوبی ارتعاشات سیستم را خنثی کرده و به



شکل ۹ توابع عضویت سیستم فازی تناوبی - مشتقی - انتگرالی خطی  
جدول ۴ قوانین سیستم فازی تناوبی - مشتقی - انتگرالی خطی

ورودی خطی	ورودی جابه‌جایی	خروجی
SP	Z	P
LP	P	P
Z	P	N
LN	N	N
Z	N	P
SN	Z	N
SN	N	Z
Z	Z	Z
SP	P	Z



شکل ۱۶ مقایسه پاسخ زمانی سه نوع کنترل کننده ارتعاشات ورق مستطیلی مستقر بر بستر خطی تحت نیروی اجباری پله

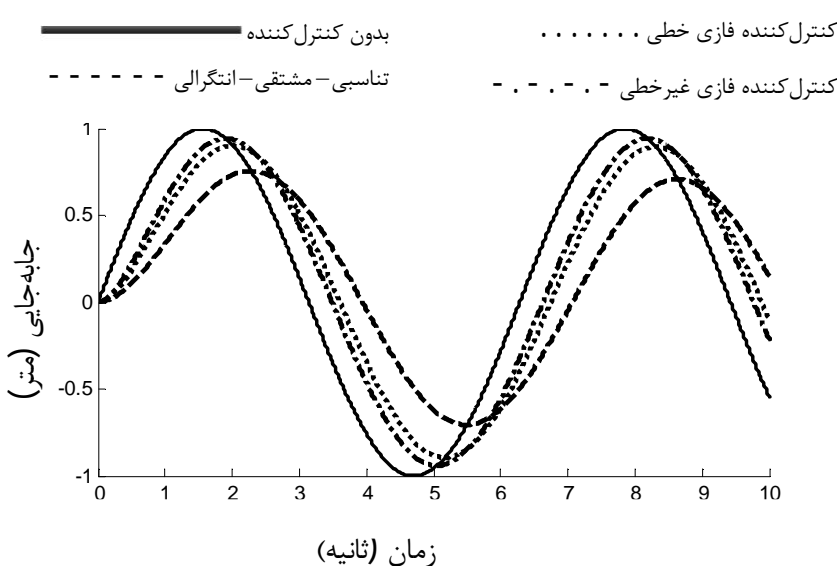
خطی و فازی غیرخطی پرداخته شده است. همان‌طور که مشاهده می‌شود بهزای اعمال ورودی مرجع که مربوط به ارتعاش اجباری پله است، کنترل کننده رگلاتور خطی درجه دوم به سرعت مقدار ثابتی همگرا شده، ولی کنترل کننده‌های فازی با کمی تأخیر همگرا می‌شوند. از بین دو کنترل کننده فازی، کنترل کننده فازی غیرخطی نتیجه بهتری در کنترل ارتعاشات دارد.

هدف طرحی کنترل کننده‌ای است که ورودی مشخصی را دنبال کند. در شکل ۱۷ ارتعاشات کنترل شده ورق چهارلایه مستطیلی مستقر بر بستر خطی با سه نوع کنترل کننده تناسبی-مشتقی-انتگرالی و فازی خطی و فازی غیرخطی پرداخته شده است. همان‌طور که مشاهده می‌شود بهزای اعمال ورودی مرجع سینوسی کنترل کننده‌ها به خوبی ورودی را دنبال می‌کند. که از بین این سه نوع کنترل کننده، کنترل کننده فازی غیرخطی عملکرد بهتری را نشان می‌دهد.

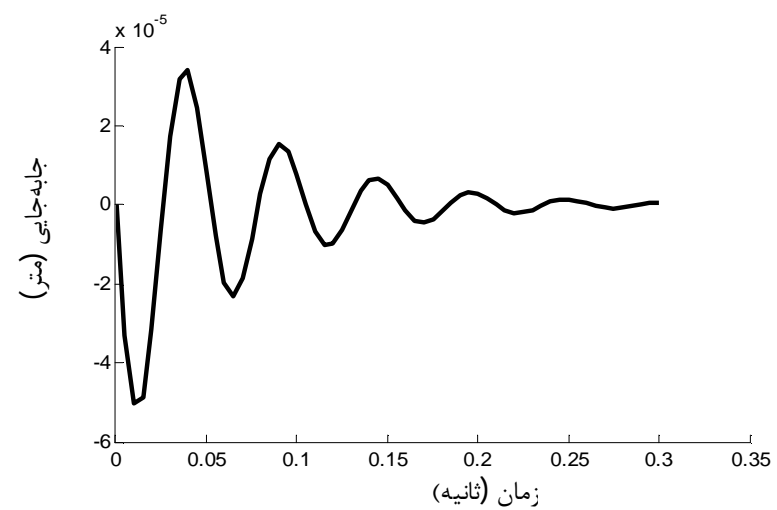
در شکل ۱۸ ارتعاشات کنترل شده ورق چهارلایه مستطیلی مستقر بر بستر خطی با سه نوع کنترل کننده تناسبی-مشتقی-انتگرالی و فازی خطی و فازی غیرخطی پرداخته شده است. همان‌طور که مشاهده می‌شود بهزای اعمال ورودی مرجع پله واحد کنترل کننده‌ها به خوبی ورودی را دنبال می‌کند. از میان این سه نوع کنترل کننده کنترل کننده فازی غیرخطی عملکرد بهتری را نشان می‌دهد.

## 8- نتیجه‌گیری

همان‌طور که مشاهده شد برای کنترل ارتعاشات ورق مستطیلی مستقر بر بستر خطی، در یک نقطه، استفاده از وصله کمتر تا حتی دو وصله پیزوالکتریک



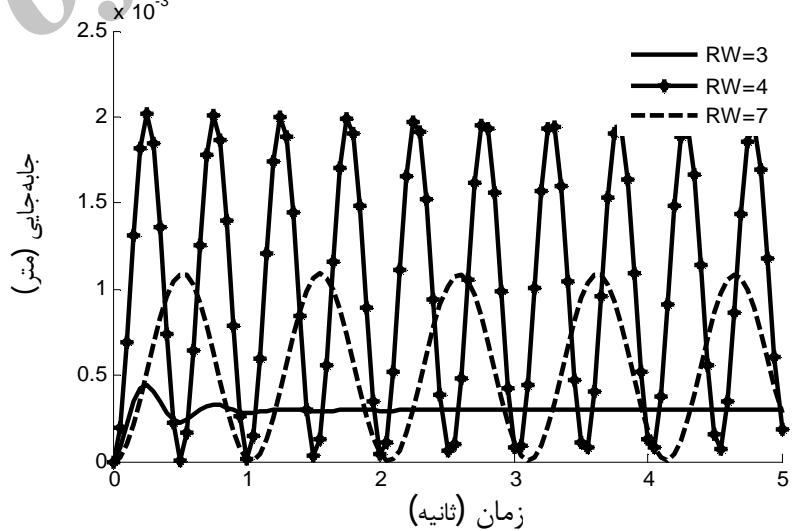
شکل ۱۷ خروجی سیستم فازی خطی و غیرخطی بهزای ورودی سینوسی



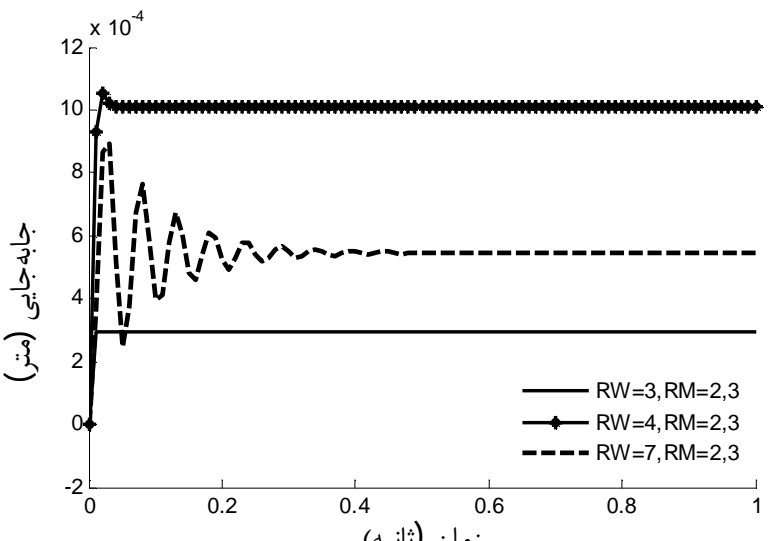
شکل ۱۳ پاسخ زمانی ارتعاشات کنترل شده ورق مستطیلی سه‌لایه مستقر بر بستر خطی تحت نیروی ضربه در موقعیت (8/7l<sub>x</sub>, 8/3l<sub>y</sub>)

همان‌طور که در شکل‌های ۱۵, ۱۴ مشاهده می‌شود با قرار گرفتن موقعیت اعمال نیرو در فاصله بین دو پیزوالکتریک عملکرد کنترلر بسیار مناسب بوده است و سیستم به سرعت به مقدار صفر نزدیک می‌شود. با حرکت به سمت خارج از فاصله بین دو پیزو دامنه ارتعاشات افزایش یافته که نشان‌دهنده کاهش تأثیر عکس العمل پیزو بر اثر اعمال نیرو است. در شکل‌های ۱۵, ۱۴ منظور از  $RW=3$  موقعیت اعمال نیرو که معادل موقعیت  $(3l_x/8, 3l_y/8)$  و همچنین  $RM = 2, 3$  موقعیت مکانی دو پیزو را که در  $(3l_x/8, 3l_y/8)$  است را نشان می‌دهد.

در شکل ۱۶ نیز به مقایسه ارتعاشات کنترل شده ورق چهارلایه مستطیلی مستقر بر بستر خطی با سه نوع کنترل کننده رگلاتور خطی درجه دوم و فازی

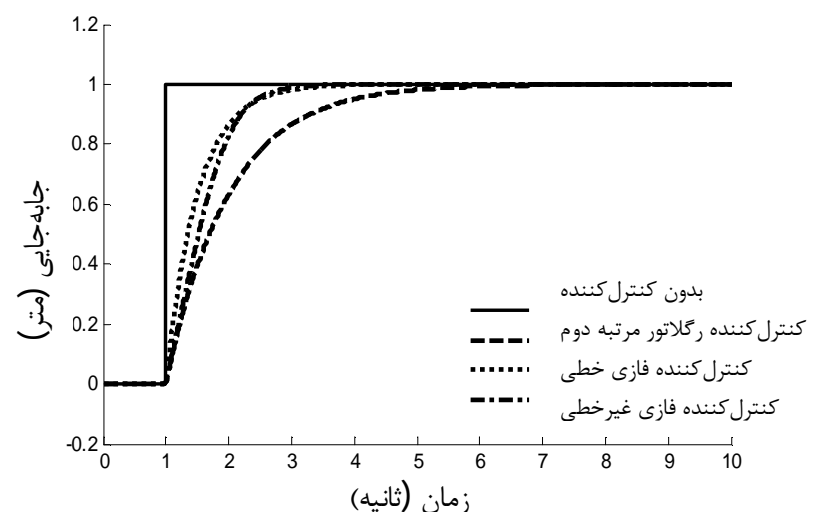


شکل ۱۴ مقایسه دامنه ارتعاش ورق مستطیلی چهارلایه مستقر بر بستر خطی تحت نیروی اجباری در موقعیت‌های مختلف



شکل ۱۵ مقایسه دامنه ارتعاشات کنترل شده ورق مستطیلی چهارلایه مستقر بر بستر خطی تحت نیروی اجباری در موقعیت‌های مختلف

- [7] I. S. Sadek, Jr. J. C. Bruch, J. M. Sloss, S. Adali, Feedback Control of Vibrating Plates Using Piezoelectric Patch Sensors and Actuators, *Journal of Composite Structures*, Vol. 62, 397-402, 2003.
- [8] S. Gopinathan, Modeling of Piezoelectric Smart Structures for Active Vibration and Noise Control Applications, *PhD thesis, Dept. of Engineering Science and Mechanics, Pennsylvania State Univ*, 2001.
- [9] J. Kovarova, J. Dupal, M. Schlegel, Vibration Control of Plate Structures, Vol. 18, 61-78, 2007.
- [10] E. Ventsel, T. Krouthammer, Thin PIFates and Shells: Theory, Analysis, and Applications, Marcel Dekker, Inc., New York, 688, 2001.
- [11] J. N. Reddy, Mechanics of Laminated Composite Plates and Shell Theory and Analysis, Vol. 2, 110-161, 2003.
- [12] H. Lim, "Finite Element Simulation of Closed Loop Vibration Control of a Smart Plate Under Transient Loading", *J. Smart. Mater. Struct.*, Vol. 12, 272-286, 2003.
- [13] Sh. Hosseini-Hashemi, K. Khorshidi, H. Payandeh, Vibration analysis of moderately thick rectangular plates with internal line support using the Rayleigh-Ritz approach, Vol. 16, 22-39, 2009.
- [14] K. Khorshidi, S. Farhadi, Free Vibration Analysis of a Laminated Composite Rectangular Plate in Contact with a Bounded Fluid, *Composite Structures*; Vol. 104, 176-186, 2013.
- [15] K. Khorshidi, E. Rezaei, A.A. Ghadimi, M. Pagoli, Active vibration control of circular plates coupled with piezoelectric layers excited by plane sound wave, *Applied Mathematical Modelling*; Vol. 39, 1217-1228, 2015.
- [16] Y.K. Chenung, D. Zhou, Vibration analysis of symmetrically laminated rectangular plates with intermediate line supports, *Computers and Structures*; 79, 33-41, 2001.
- [17] S. Kumar, R. Srivastava, R. K. Srivastava, Active Vibration Control Of Smart Pizo Cantilever Beam Using PID Controller, *International Journal of Research in Engineering and Technology*. Vol. 03, 392-399, 2014.
- [18] N. Jalili, Piezoelectric-Based Vibration Control, 195-220, 2010.
- [19] J. Kovarova, J. Dupal, M. Schlegel, Vibration Control of Plate Structures, Vol. 18, 61-78, 2007.
- [20] J. M. S. Moita, C. M. M. Soares, C. A. M. Soares, Active Control of Forced Vibration in Adaptive Structures Using Higher Order Mode, *Journal of Composite Structures*, Vol. 71, 349-355, 2005.
- [21] N. Rahman, M. Naushad Alam, Active vibration control of a piezoelectric beam using PID controller: Experimental study, *Latin American Journal of Solids and Structures*, Vol. 9, 657-673, 2012.
- [22] A. Keshmiri, A. Ghaheri, F. Taheri, Vibration and buckling of laminated composite plates elliptical symmetrical based on Resting On the internal load Vinkler original plates, *Modares Mechanical Engineering*, Vol. 14, No. 1, pp. 19-26, 2014. (In Persian)
- [23] S.M. Shaukat, A. Sami. Finite Element Analysis of a Beam with Piezoelectrics using Third Order Theory-Part II Dynamic Analysis-Active Vibration Control, *International Journal on Emerging Technologies*, Vol.2, 135-139, 2011.
- [24] A. A. Jandaghian, A. A. Jafari, Investigating the Effect of Piezoelectric layers on Circular Plates under Forced Vibration, *Journal Advanced Design and Manufacturing Technology*, Vol. 5, 1-9, 2012.



شکل 18 خروجی سیستم فازی خطی و غیرخطی به‌ازای ورودی پله

کافی به نظر می‌رسد و همچنین برای کنترل نقاطی که در خارج از فاصله بین وصله‌ها باشد کنترلر خوب عمل نمی‌کند و زمان عکس‌العمل نسبت به حالت میان پیزو زیادتر است. با اعمال نیروی خارجی بر مکانی که پیزو قرار دارد کنترلر به سرعت عکس‌العمل نشان داده و ارتعاشات کنترل می‌شود. که این موارد جهت استفاده از وصله‌های پیزوالکتریک در دستگاه‌های صنعتی و تجهیزات نظامی جهت کاهش ارتعاشات ناشی از بارهای خارجی با درنظر گرفتن موقعیت اعمال آن‌هاست.

## 9-مراجع

- [1] M. Huang, X.Q. Ma, T. Sakiyama, H. Matsuda, C. Morita, Free vibration analysis of continuous rectangular plates, *Journal of Sound and Vibration*, Vol.9, 485-496, 2010,
- [2] E. Altunsaray, I. Bayer, Deflection and free vibration of symmetrically laminated quasi-isotropic thin rectangular plates for different boundary conditions, *Ocean Engineering*, Vol. 57, 197-222, 2013.
- [3] A. Rahbar Ranji, H. Rostami Hoseynabadi, A semi-analytical solution for forced vibrations response of rectangular orthotropic plates with various boundary conditions, *Journal of Mechanical Science and Technology*, Vol. 24, 357-364, 2010.
- [4] J. M. S. Moita, V. M. F. Correia, P. G. Martins, C. M. M. Soares, Optimal Design in Vibration Control of Adaptive Structures Using a Simulated Annealing Algorithm, *Journal of Composite Structures*, Vol. 75, 79-87, 2006.
- [5] J. M. S. Moita, I. F. P. Correia, C. M. M. Soares, C. A. M. Soares, Active Control of Adaptive Laminated Structures with Bonded Piezoelectric Sensors and Actuators, *Journal of Computers and Structures*, Vol. 82, 1349-1358, 2004.
- [6] J. M. S. Moita, C. M. M. Soares, C. A. M. Soares, Active Control of Forced Vibration in Adaptive Structures Using Higher Order Model, *Journal of Composite Structures*, Vol. 71, 349-355, 2005.